

Liposzómák terápiás alkalmazásai (szisztemás terápia)

Dr. Voszka István

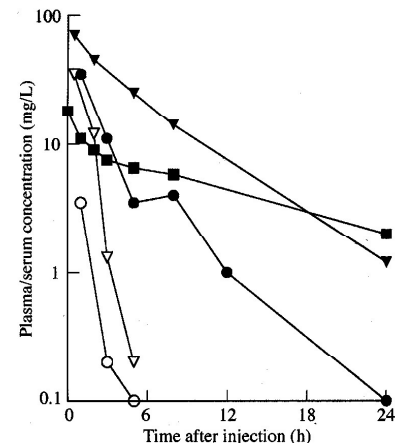
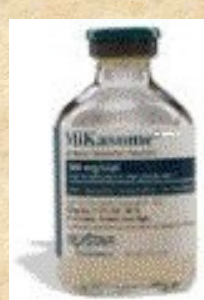
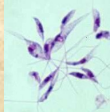


Figure 1. Circulation kinetics of conventional liposome encapsulated aminoglycosides (closed symbols) and free aminoglycosides (open symbols). Aminoglycoside concentrations at indicated time-points after injection of a single dose of gentamicin 20 mg/kg in rats (triangles),⁶⁶ amikacin 40 mg/kg in mice (circles)⁶⁸ or gentamicin 5.1 mg/kg in AIDS patients (squares).⁸⁰



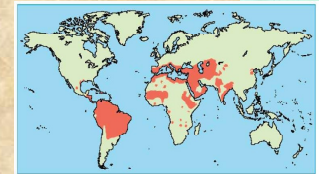
b) Szisztemás alkalmazások

Általában akkor, ha az adott gyógyszernek súlyos mellékhatásai vannak.



1.A RES-t érintő betegségek kezelhetők

C-liposzómába zárt gyógyszerekkel.
Pl. a leishmaniais kezelhető
liposzómás antimon-származékokkal



2.Antibiotikumok

Főképp, ha az adott gyógyszer terápiás és toxikus koncentrációja között kicsi a különbség

Liposzómában - a szükséges gyógyszemennyiség lecsökken
- a kezelés hatásfoka javul

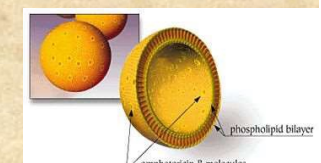
Baktériumellenes pl. aminoglikozid típusú antibiotikumok
brucellózis, vesemedence-gyulladás kezelésére (streptomycin,
gentamycin, stb.)

Gombaellenes pl. Amphotericin B

(első törzskönyvezett liposzómás
gyógyszerkészítmény – gyári neve
AmBisome®)

telített PC / Chol / DSPG (2: 1: 0,8) +
10 mol% AmB ~80 nm-es SUV-okban)

A toxicitás behatárolja az adható
mennyiséget. Gyakran a toxikus
koncentráció kisebb, mint a minimális
terápiás.



Liposzómában kevesebb mellékhatás
(mellékhatások: láz, izomfájdalom,
thrombophlebitis, vesekárosodás, anaemia)

Feltételezett ok: a liposzómák affinitása sokkal
kisebb a humán sejtek koleszterinjéhez, mint a
gombasejtek ergoszterinjéhez

Más törzskönyvezett liposzómás Amphotericin
B készítmény: Abelcet®



ABELCET 5 mg/ml szuszpenziós infúzió

Hatóanyag: Amphotericin b

Kiszerelés: 10x20 ml

•vénykötéles

Fogyasztói ár: 430496 Ft Támogatott ár: 430496 Ft

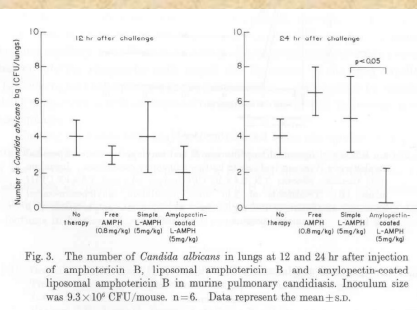


Fig. 3. The number of *Candida albicans* in lungs at 12 and 24 hr after injection of amphotericin B, liposomal amphotericin B and amylopectin-coated liposomal amphotericin B in murine pulmonary candidiasis. Inoculum size was 9.3×10^6 CFU/mouse, n=6. Data represent the mean \pm s.d.

Polysaccharide-Coated Liposomal Amphotericin B for Pulmonary Candidiasis 487

TABLE I. Organ concentration of amphotericin B after injection of free, simple liposomal, and amylopectin-coated liposomal amphotericin B in normal mice

	Free-AMPH ^a		Simple-Lipo-AMPH ^b		Ap-Lipo-AMPH ^c	
	30 min (μ g/g)	24 h (μ g/g)	30 min (μ g/g)	24 hr (μ g/g)	30 min (μ g/g)	24 h (μ g/g)
Brain	ND ^d	ND	ND	ND	ND	ND
Heart	0.12 \pm 0.02 ^d	ND	1.64 \pm 0.41	0.85 \pm 0.22	1.13 \pm 0.46	0.35 \pm 0.06
Lungs	0.34 \pm 0.08	ND	25.42 \pm 7.78	2.36 \pm 0.5	55.33 \pm 0.71	2.5 \pm 0.38
Liver	0.94 \pm 0.12	0.29 \pm 0.07	14.2 \pm 2.36	14.7 \pm 1.28	10.46 \pm 1.16	12.47 \pm 1.07
Spleen	0.81 \pm 0.17	0.23 \pm 0.10	15.56 \pm 2.93	13.61 \pm 3.65	10.17 \pm 0.76	10.39 \pm 0.8
Kidneys	0.36 \pm 0.09	0.09 \pm 0.03	3.7 \pm 1.05	1.08 \pm 0.36	2.05 \pm 0.18	0.49 \pm 0.23

^aAmphotericin B 0.8 mg/kg weight.

^bAmphotericin B 5.0 mg/kg weight.

^cNot detectable (less than 0.09 μ g/g tissue).

^dThe mean \pm s.d.

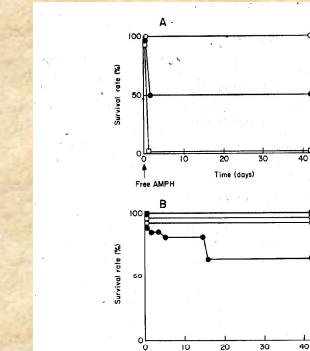


Fig. 2. Toxicity to normal mice.
(A) Free amphotericin B was 1.2 mg/kg. The maximum dose without acute lethality was 0.8 mg/kg, n=10. Dose of free amphotericin B: 0.8 mg/kg (○—○); 1.2 mg/kg (●—●); 2.0 mg/kg (□—□).
(B) Amylopectin-coated liposomal amphotericin B.

LD₅₀ was greater than 10 mg/kg. All mice treated at a dose of 5.0 mg/kg were alive, n=10. Dose of amylopectin-coated liposomal amphotericin B: none (■—■); 2.5 mg/kg (△—△); 5.0 mg/kg (○—○); 10.0 mg/kg (●—●). n=10.

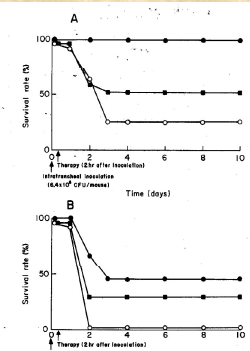
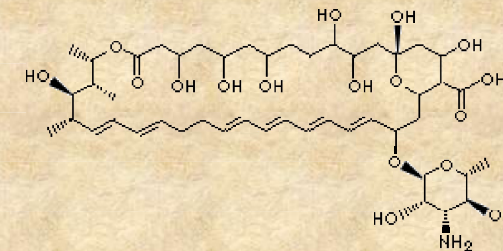
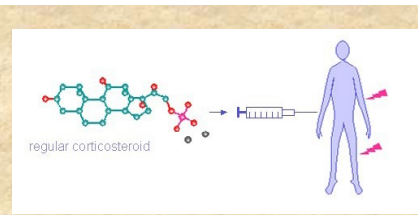


Fig. 4. Efficacy of liposomal amphotericin B and amylopectin-coated liposomal amphotericin B on survival rate in murine pulmonary candidiasis. Inoculum size: *Candida albicans* 7 N 6.4×10^6 CFU/mouse (A) and 7.3×10^6 CFU/mouse (B). Treatments at 2 hr after inoculation: amylopectin-coated liposomal amphotericin B 5 mg/kg (●—●); liposomal amphotericin B 5 mg/kg (○—○); empty liposomes (□—□). Time (days)

Nyotran (liposzómás nystatin) foszfolipid liposzómában



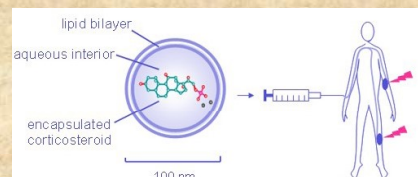
Szteroidok



Nanocort®: a terápiás elv

Kortikoszteroid SUV-ba zárva. Szelektíven dúsul a gyulladásokban és a daganatokban az érfalak fokozott permeabilitása miatt.

A liposzómákat foszfolipid és koleszterin alkotja.



Caelyx 2 mg/ml koncentrátum infúzióhoz (1x10 ml) gyógyszer adatai:

Gyártó: Janssen-Cilag International
Hatóanyag: doxorubicin
Kiszerelés: 1x10 ml
Fogyasztói ár: 146393 Ft
Támogatott ár: 146393 Ft

Normatív TB támogatás: 0%
Közgyógyellátásra adható: igen
EÜ támogatásra adható: nem
EÜ 100% támogatásra adható: nem



Kiadhatóság:

Szakorvosi/kórházi diagnózist követően, folyamatos szakorvosi ellenőrzés mellett alkalmazható készítmények.

MYOCET 50 mg por és előkeverékek liposzómás diszperziós infúzió készítésére szánt koncentrátumhoz

Kiszereles
2 db 50 mg-os
sorozat

Kiadhatóság
vényköteles

Fogyasztói ár
379 737 Ft

Fizetendő ár
379 737 Ft



3.Daganatterápia

Liposzómák alkalmazásával csökkenthetők a gyakran igen súlyos mellékhatások

Pl. doxorubicin (Doxyl®, Caelyx®, Myocet®) – szívizom-károsodás

methotrexate – máj-, vesekárosodás, kopaszás

vincristin (Onco TCS) – perifériás idegek károsodása, kopaszás

Ara-C (DepoCyt®) – csontvelő-, bélfa-károsodás

Daunorubicin (DaunoXome®) – szívizom-, csontvelő-károsodás



Közönséges liposzómák → RES-t érintő daganatok ill. áttekete kezelése

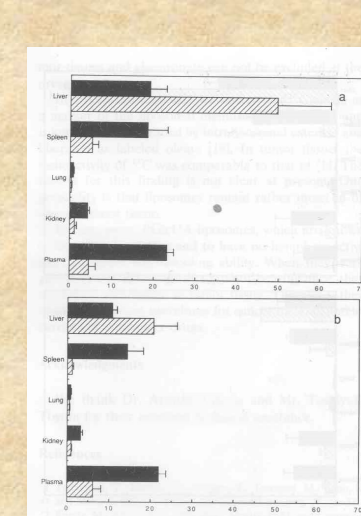


Fig. 2. Biodistribution of liposomes in normal mice at 12 h after intravenous administration. Mice were injected with PGlcUA-liposomes (closed bar) and DPPG-liposomes (hatched bar) as described in Materials and Methods. Data show the percent injected dose per tissue and S.D. The radioactivity of [³H]julinin (a) and that of cholesteryl [¹⁴C]oleate (b) are shown.

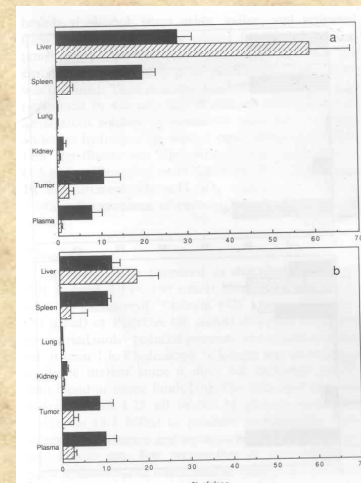


Fig. 3. Biodistribution of liposomes in tumor-bearing mice at 12 h after intravenous administration. Tumor-bearing mice were injected with PGlcUA-liposomes (closed bar) and DPPG-liposomes (hatched bar) as described in Materials and Methods. Data show the percent injected dose per tissue and S.D. The radioactivity of [³H]julinin (a) and that of cholesteryl [¹⁴C]oleate (b) are shown.

Stealth liposzómában (PEG, glukuronsav, sziálsav a felületen) – nagyobb szelektivitás és hatékonyúság

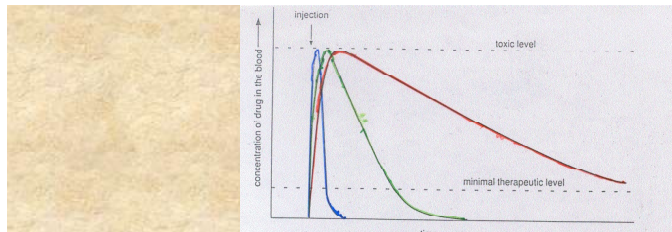
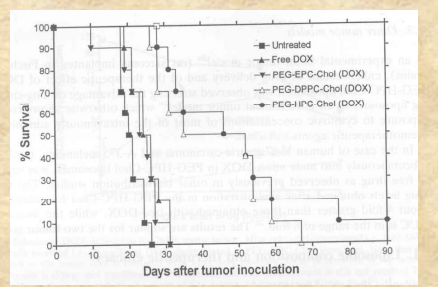
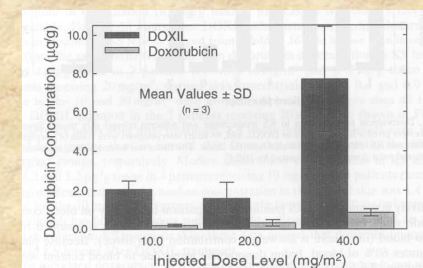
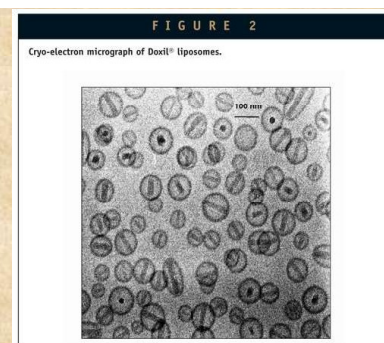
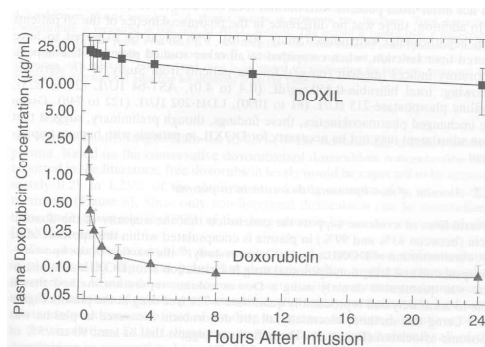
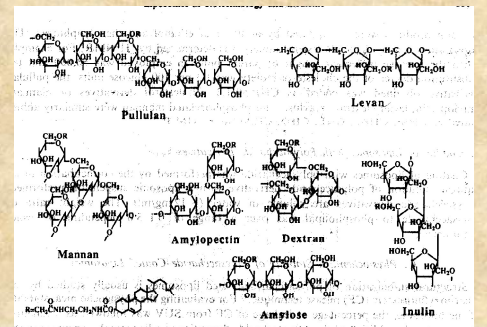
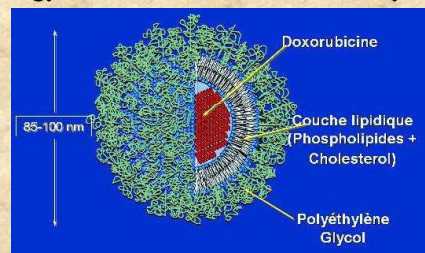


Figure 11. Concentration of a drug injected into the bloodstream depends on the form in which it is given. One of the usual goals is to maintain a therapeutic but non-toxic level of the drug in the blood for as long as possible. A *free drug* (delivered without a carrier) is usually present at therapeutic concentrations in the blood for a very short period (*blue*). Encapsulating the drug within a conventional liposome increases its duration in the blood (*green*), whereas drugs carried by *Stealth liposomes* (*red*) may remain at therapeutic levels hundreds of times longer than a free drug.

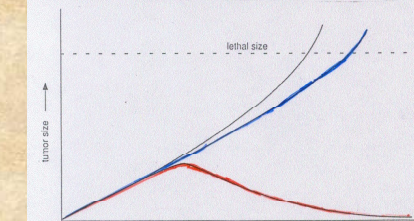
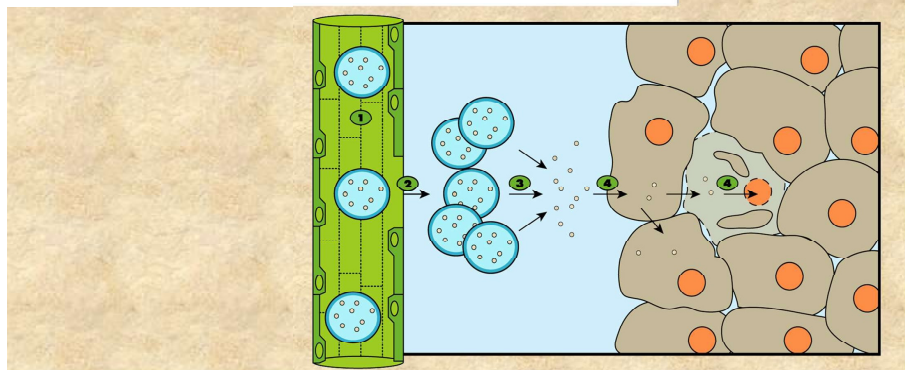
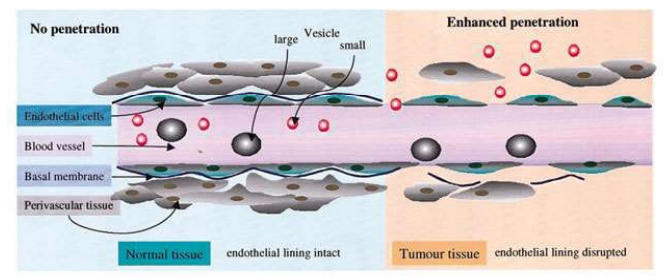
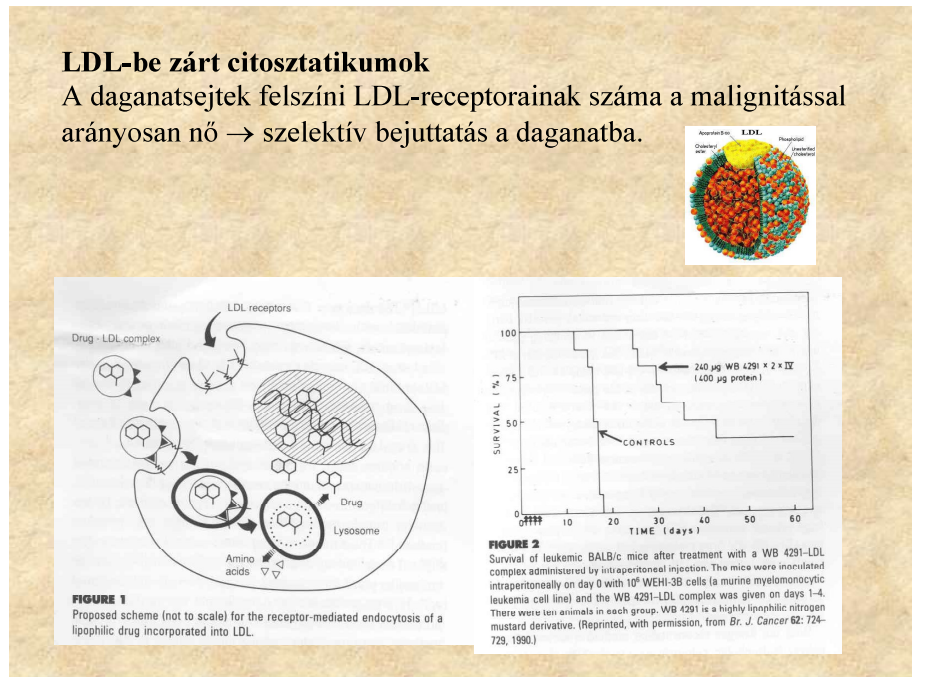
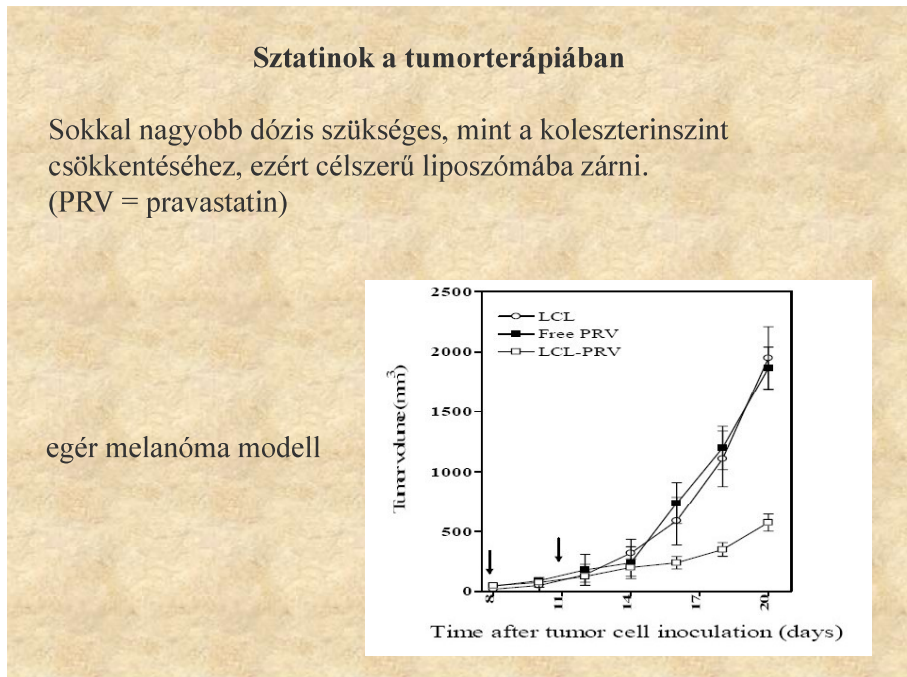
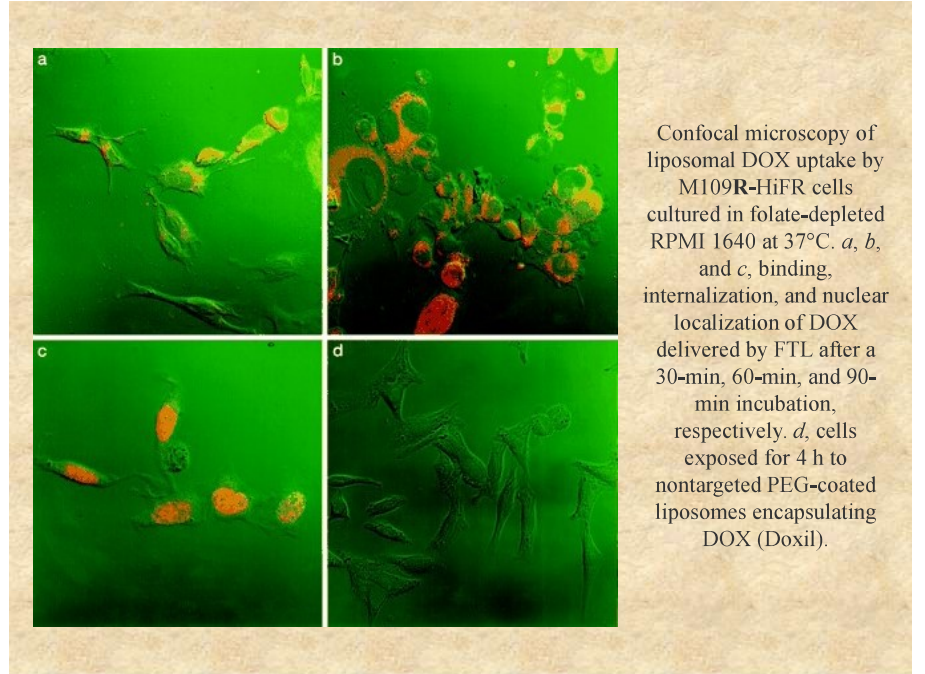
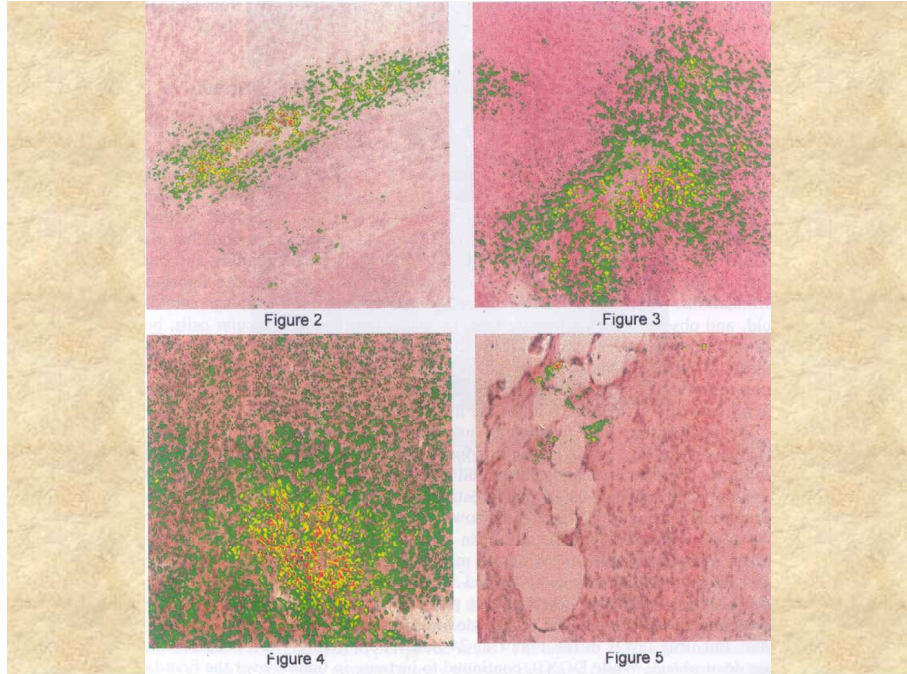


Figure 12. Size of a cancerous tumor in a laboratory animal is reduced with the use of an anti-tumor agent encapsulated within a *Stealth liposome* (*red*). In cases where the animal is left untreated (*blue*) or the drug is administered in its free form (*blue*) the tumor will continue to grow until it reaches a lethal size. (Adapted from Papahadjopoulos et al. 1991.)





Immunliposzómák: szelktív kötődés a daganatsejthez. Toxin vagy citosztatikum zárható bele. TNF együttes adása segíti a liposzómák átlépését az erekből a tumorba.

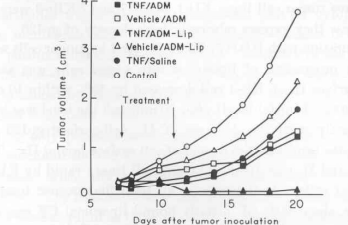
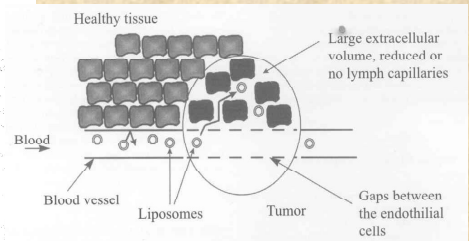
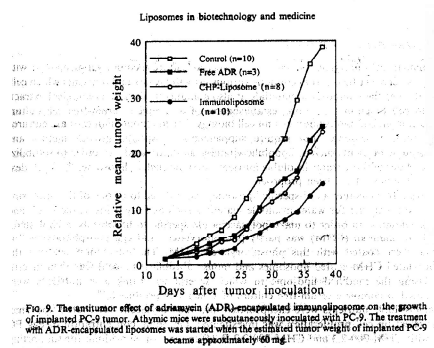


Fig. 3. Effect of TNF pretreatment on the growth inhibitory effect of ADM-Lip. The treatment with TNF and ADM-LIP was performed in 2 cycles at days showing by arrows. (Cited from Ref. of Suzuki et al. 1990).

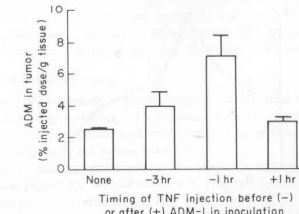


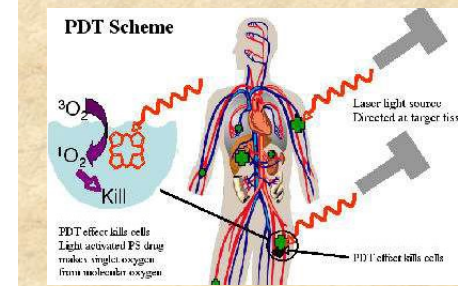
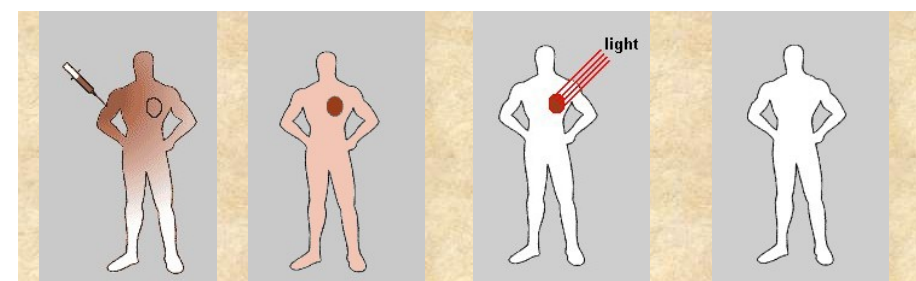
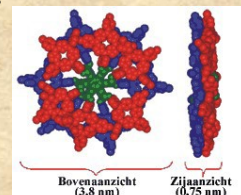
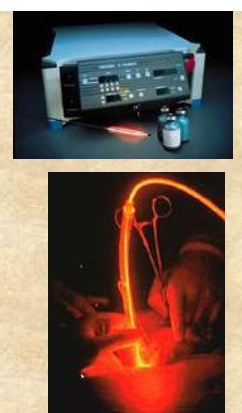
Fig. 2. Effect of injection time schedule of TNF treatment on the distribution to tumor. The indicated time after TNF injection, ADM-Lip were injected. (Cited from Ref. of Suzuki et al. 1990).

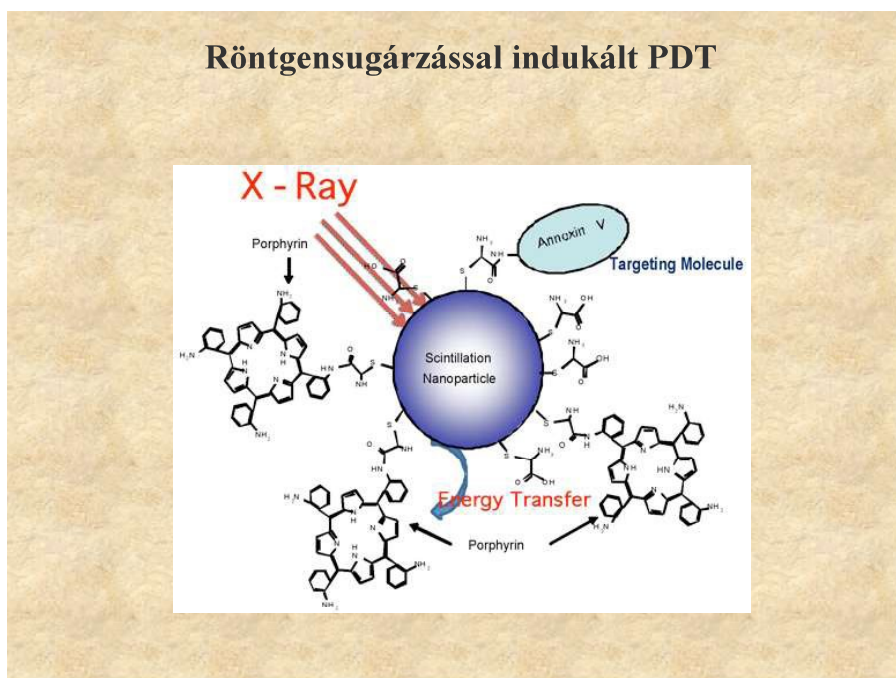
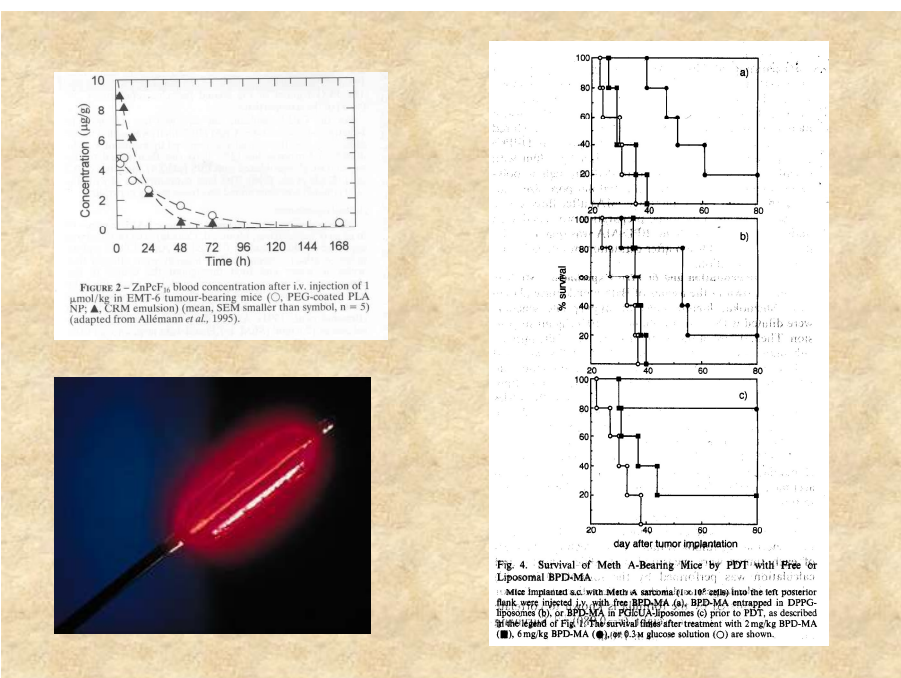
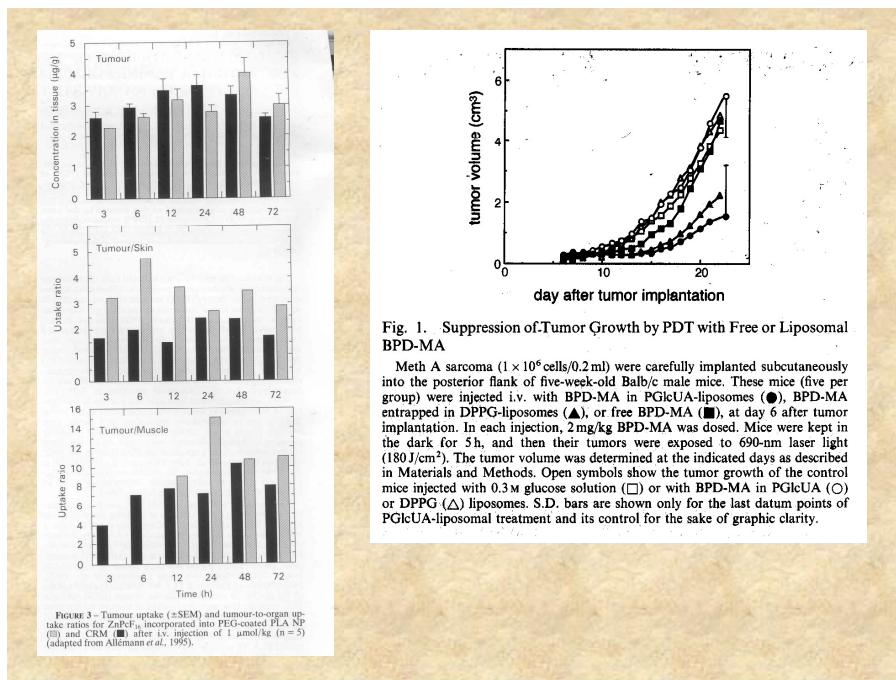
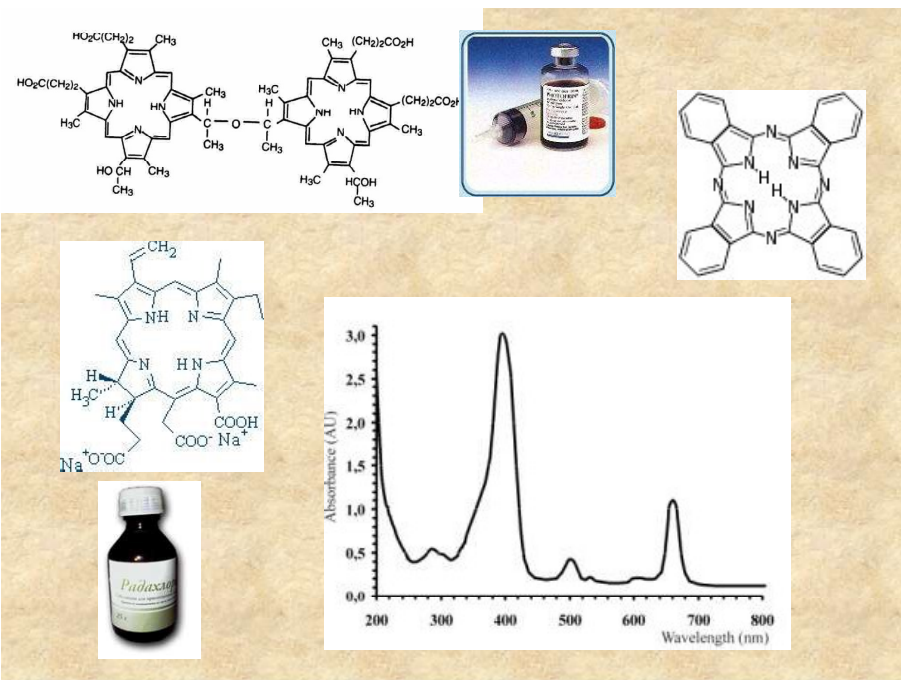
Fotodinámiás terápia (PDT)

Fényérzékenyítő anyagot (hematoporfirin, ftalocianin származékok, stb.) juttatnak a tumorosejtekbe. Megvilágítják megfelelő hullámhosszú fénnyel → reaktív oxigéngyökök képződnek → tumorosejtek pusztulása.

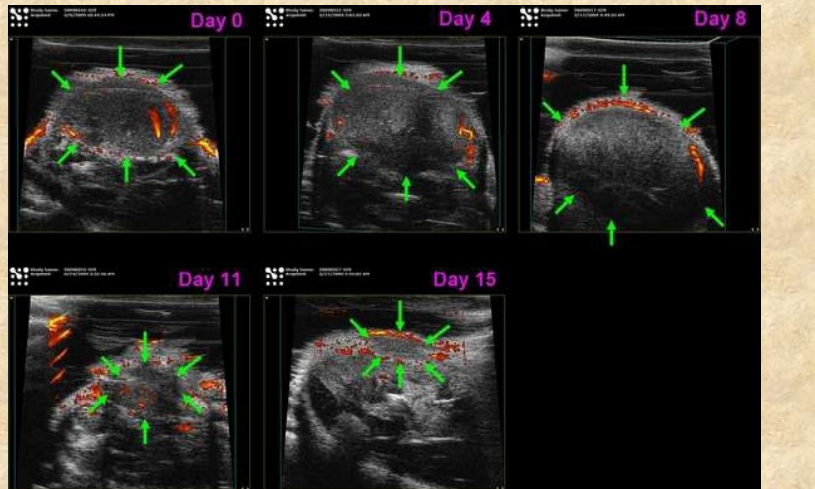
A hatás függ a fényérzékenyítő anyag jellemzőitől. Minél hidrofilebb (pl. szulfonált forma) annál inkább a tumorban lokalizálódik. De a daganatpusztító hatás fordítottan arányos a szulfonáltsággal.

Megoldás pl.: a liposzómába zárt fényérzékenyítőt LDL-lel asszociáltatva juttatják a tumorba.





Radioterápia célzott izotópkezeléssel (Re-188)



Longitudinal power Doppler ultrasound Imaging. The images were acquired at 0, 4, 8, 11 and 15 days after injection of ¹⁸⁸Re-liposome (29.6 MBq). Locations of color signals indicative of blood vessels: The arrow marks an area of tumor. The imaging showed a decrease in the tumor volume and number of blood vessels.

Forgalomban lévő liposzómás daganatellenes gyógyszerek

Név	Hatóanyag	Gyártó	Egyéb	Indikáció
<u>DepoCyt</u>	citarrabin	SkyePharma	-	malignus lymphomás meningitis
<u>DaunoXome</u>	daunorubicin	Gilead Sciences	-	Kaposi-sarcoma
<u>Doxil/Caelyx</u>	doxorubicin	Ortho Biotech, Schering-Plough	PEGilált	Kaposi-sarcoma, metasztázisos mell- és petefészkrák
<u>Myocet</u>	doxorubicin	Zeneus	-	ciklofoszfamid terápiával kombinálva metasztázisos mellrákban
<u>Visudyne</u>	verteporfírin	QLT, Novartis	-	PDT időskori macula degeneráció, patológiai myopia és szemészeti hisztoplazmózis
<u>Marqibo</u>	vincristin	Talon Therapeutics	-	Philadelphia kromoszóma negatív felnőtt ALL
<u>Lipusu</u>	paclitaxel	Luye Pharma Group	-	petefészkrák, mellrák és nem-kissejtes tüdőrák

Product	Drug	Company	Indication target
Atragen™	Tretinoïn	Aronex Pharmaceuticals Inc.	Acute promyelocytic leukemia
Amphotec	Amphotericin B	Sequus Pharmaceuticals Inc.	Fungal infections leishmaniasis
Ambisome™	Amphotericin B	NeXstar Pharmaceuticals Inc.	Serious fungal infections
Amphotecil™	Amphotericin B	Sequus Pharmaceuticals Inc.	Serious fungal infections
Abelcet™	Amphotericin B	The Liposome Company.	Serious fungal infections
ALEC™	Dry protein free powder of DPPC-PG	Britannia Pharm, UK	Expanding lung diseases in infants
Avian retrovirus vaccine	Killed avian retrovirus	Vineland lab, USA	Chicken pox
DaunoXome™	Daunorubicin citrate	NeXstar Pharmaceuticals Inc., USA	Kaposi sarcoma in AIDS
DepoDur	Morphine	Pacira Pharmaceuticals Inc	Post-surgical pain reliever
Daunoxome	Daunorubicin citrate	Galen Ltd	Kaposi sarcoma in AIDS
Depocyt	Cytarabine	Pacira Pharmaceuticals Inc	Treatment of lymphomatous meningitis
Doxil	Doxorubicin	Sequus Pharmaceuticals Inc.	Kaposi sarcoma in AIDS
Estrasorb	estradiol	Novavax	Menopausal Therapy
Evacei™	Doxorubicin	The liposome company, USA	Metastatic breast cancer
Epaxal - Berna Vaccine	Inactivated hepatitis-A Virions	Swiss serum & vaccine institute, Switzerland	Hepatitis A
Fungizone	Amphotericin B	Bristol-Myers Squibb, Netherland	Serious fungal infections
Mikasome®	Amikacin	NeXstar Pharmaceuticals Inc.	Bacterial infection
Nystatin™	Nystatin	Aronex Pharmaceuticals Inc.	Systemic fungal infections
Topex Br	Terbutaline sulphate	Ozone Pharmaceuticals Ltd.	Asthma
Ventus	Prostaglandin-E1	The liposome company	Systemic inflammatory disease
VincaXome	Vincristine	NeXstar Pharmaceuticals Inc.	Solid Tumors
neighboring tissues. Superparamagnetic liposomes are reported as highly efficient magnetic resonance imaging (MRI) contrast agents. Example, maghemite encapsulated liposomes synthesized from egg PC (phosphatidylcholine) and DSPE-PEG(2000) [127].			
New Generation of Liposomes			
Liposomal drug delivery has created opportunity to formulate a wide variety of difficult to deliver therapeutic agents. In spite of many products in the market and several others in t			

Product Name	API	Approved Year/Area	Dosage Form	Adm. Route	Indication
Doxil Caelyx	Doxorubicin hydrochloride (DOX-HCl)	1995, US 1996, EU	Suspension	IV	Ovarian cancer, Kaposi's sarcoma, myeloid melanoma
DaunoXome	Daunorubicin	1996, US	Suspension	IV	Kaposi's sarcoma
AmBisome	Amphotericin B (AmB)	1997, US	Lyo	IV	Systemic fungal infection
DepoCyt DepoCyté	Cytarabine	1999, US 2001, EU	Suspension	IT	Lymphomatous meningitis
Myocet	DOX-HCI	2000, EU	3 vials	IV	Breast cancer
Visudyne	Verteporfin	2000, US 2000, EU	Lyo	IV	Wet AMD
DepoDur	Morphine	2004, US	Suspension	Epidural	Postoperative pain
Mepact	MTP-PE	2009, EU	Lyo	IV	Osteosarcoma
Exparel	Bupivacaine	2011, US 2020, EU	Suspension	Local infiltration	Post-surgical analgesia
Marqibo	Vincristine Sulfate	2012, US	3 vials	IV	Leukemia
Onivyde	Irinotecan hydrochloride trihydrate	2015, US 2016, EU	Suspension	IV	Pancreatic adenocarcinoma
Vyxios	Daunorubicin, cytarabine	2017, US 2018, EU	Lyo	IV	Leukemia
Shingrix	Recombinant varicella-zoster virus glycoprotein E	2018, EU	2 vials (powder and suspension)	IM	Against shingles and post-herpetic neuralgia
Arikayce	Amikacin sulfate	2018, US 2020, EU	Suspension	Oral inhalation	Lung disease

4. AIDS

Mind a celluláris (főleg a CD4⁺ limfociták számának csökkenése miatt) mind a humorális immunválasz csökkent → védekezési képtelenség a fertőzésekkel szemben (opportunista fertőzések)

Okozza a HIV vírus – reverz transzkriptázal rendelkező RNS vírus. A kezelés alapja a reverz transzkriptáz gátlása dezoxinukleozid-analógokkal, melyekben a 3'OH- csoportot H-, azido-, vagy más csoport helyettesíti → nem képeznek foszfodiészter kötést. Hosszú távon alkalmazandók, ezért toxicitásukat figyelembe kell venni. Kombinációjuk célszerű – kevésbé szokik hozzá a vírus, kisebb toxicitás (a purin és pirimidin analógok más-más úton hatnak)

Pl. 3'-azido-3'-dezoxitimidin (AZT) = zidovudin (ZDV)

Hosszabb kezelés során csontvelői toxicitása van.

Liposzómába zárással kivédhető. A plazmában tartózkodás ideje is nő.

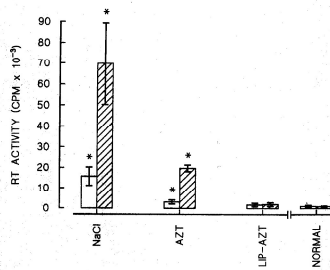
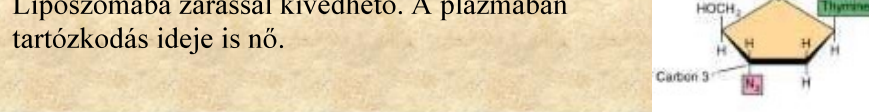


Fig. 10. Effect of treatment with AZT or liposomal AZT on the development of plasma RT activity in LP-BM5-infected C57BL/6 mice.

Groups of 5 LP-BM5-infected mice were treated for 6 weeks as described in the legend to figure 8. Plasma RT activity was determined after 3 and 6 weeks treatment. Blank columns: 3 weeks' treatment; hatched columns: 6 weeks' treatment. * = significantly different from control, mock-infected mice ($P < 0.001$, Student's t test for unpaired data).

Table IV. Bone marrow toxicity of AZT and liposomal AZT.			
Treatment (mg/kg/day)	Bone marrow cells/ femur ($\times 10^6$)	Leucocytes ml/blood ($\times 10^3$)	RBC ml/blood ($\times 10^9$)
Vehicle control	13.9 ± 1.6	10.3 ± 2.1	9.8 ± 0.7
Liposomes	14.2 ± 1.1	10.6 ± 0.9	10.1 ± 0.7
AZT			
0.08	11.8 ± 0.9	9.1 ± 1.7	8.7 ± 0.6
0.4	9.0 ± 1.0 ^{a,b}	7.9 ± 0.8	7.3 ± 0.4 ^{a,b}
2.0	6.6 ± 0.8 ^{a,b}	6.1 ± 0.9 ^{a,b}	6.5 ± 0.9 ^{a,b}
10.0	6.3 ± 1.3 ^{a,b}	5.1 ± 1.6	6.0 ± 0.6 ^{a,b}
50.0	5.9 ± 0.8 ^{a,b}	5.2 ± 1.9	5.4 ± 0.7 ^{a,b}
Liposomal AZT			
0.08	14.0 ± 2.1	10.0 ± 1.3	9.6 ± 0.8
0.4	13.6 ± 1.4	10.4 ± 1.3	9.2 ± 0.5
2.0	13.3 ± 1.8	10.6 ± 0.9	9.7 ± 0.8
10.0	13.9 ± 1.2	9.8 ± 1.3	9.2 ± 0.6

^a Groups of 5 CD1 mice were treated daily i.v. with vehicle (0.83% NaCl), liposomes (2.5 μmol), AZT or liposomal AZT in a dose volume of 200 μl. Bone marrow cellularity, peripheral blood leucocytes and RBC numbers were determined after 5 treatments. The results shown are the mean ± SD.

^b Significantly different from control treatment ($P < 0.05$, Student's t test for unpaired data).

^c Significantly different from control treatment ($P < 0.01$, Student's t test for unpaired data).

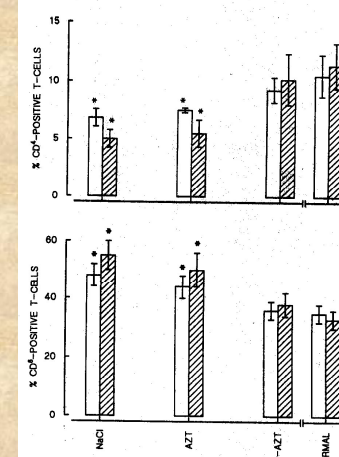


Fig. 9. Effect of treatment with AZT or liposomal AZT on splenic CD4⁺ and CD8⁺ T-cell populations.

Groups of 5 LP-BM5-infected mice were treated for 3 or 6 weeks as described in the legend to figure 8.

Upper panel: proportion of CD4⁺ T cells; lower panel: proportion of CD8⁺ T cells; blank columns: 3 weeks' treatment; hatched columns: 6 weeks' treatment; * = significantly different from control, mock-infected mice ($P < 0.01$, Student's t test for unpaired data).

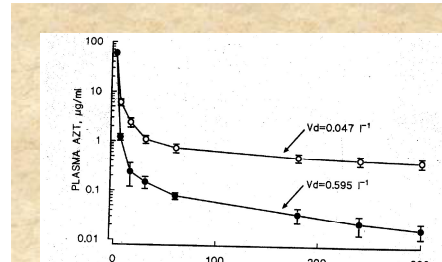


Fig. 7. Plasma AZT levels following the administration of AZT (●) or liposomal AZT (○). Plasma AZT levels (as ^{3}H -methyl-AZT) were determined at 15–300 min following the i.v. administration of a bolus of AZT or liposomal AZT at a dose of 60 μg/mouse (2 mg/kg body weight). Results show the mean ± SD of 5 groups of 5 mice. Volumes of distribution (V_d) were calculated using the equation $V_d = A/C_{\text{t}} \cdot \ln(C_0/C_{\text{t}})$, where C_0 is the concentration at time zero (obtained by extrapolation of the elimination phase line to zero time).



Table III. Tissue distribution of AZT and liposomal AZT.

Tissue	AZT	% Injected dose/g tissue ^(a)	
		DPPC/DMPG	Liposomal AZT DPPC/PS
Liver	0.59 ± 0.06	3.10 ± 0.12 ^(b)	2.10 ± 0.13 ^(bc)
Spleen	0.60 ± 0.10	2.30 ± 0.08 ^(b)	2.15 ± 0.12 ^(b)
Kidney	7.00 ± 1.45	2.30 ± 0.41 ^(b)	1.10 ± 0.08 ^(b)
Lung	0.30 ± 0.19	1.90 ± 0.17 ^(b)	4.60 ± 0.35 ^(bc)
Muscle	0.40 ± 0.11	0.50 ± 0.14	0.45 ± 0.17
Brain	0.15 ± 0.09	0.18 ± 0.10	0.16 ± 0.06
Bone marrow ^(d)	0.02 ± 0.005	< 0.0001 ^(e)	< 0.0001 ^(e)
Urine	59.9 ± 4.8	23.8 ± 3.6 ^(b)	21.9 ± 2.7 ^(b)

^(a) Groups of 5 CD1 mice were treated with AZT (2.5 μg/kg body weight) or 2.5 μmol liposomes containing ^{3}H -methyl-AZT (2.5 μg/kg body weight) spiked with ^{3}H -methyl-AZT. DPPC/DMPG liposomes were formulated in the molar ratio 10/1; DPPC/PS liposomes were formulated in the molar ratio 7/3. Tissue distribution was determined 60 min after i.v. injection using a dose volume of 200 μl.

^(b) Significantly different from AZT treatment ($P < 0.01$, Student's t test for unpaired data).

^(c) Significantly different from DPPC/DMPG liposomes ($P < 0.01$).

^(d) Results for bone marrow are expressed as percent dose/10⁶ nucleated cells.

^(e) Limit of detection using ^{3}H -methyl-AZT was 2.5 pg AZT.

Adjuváns hatás

Adjuváns: bármely ágens, amely nem specifikusan fokozza az immunválaszt egy specifikus antigénnel szemben.

A liposzómák hatékony adjuvánsként működnek, így pl. az AIDS során lecsökkent immunválaszt is fokozzák.

Előnyük: - nem toxikusak

- egyszerűen előállíthatók
- összetételük szükség szerint változtatható

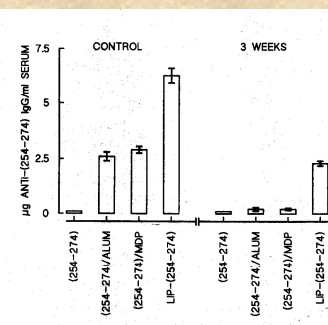
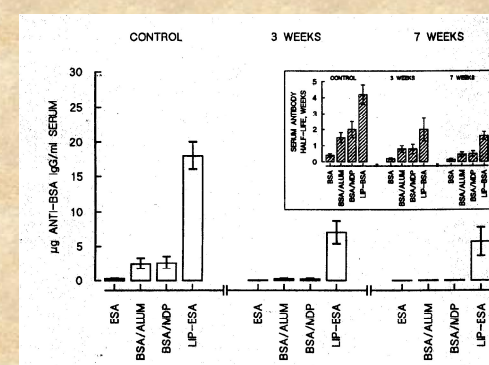


Fig. 4. Immunoadjuvant activity against peptide (254-274) in normal mice and in mice with MAIDS.



5. Vaccinatio

Kihasználható a liposzómák adjuváns hatása (liposzómában bevitt antigénnel az immunválasz fokozható)
Specifikus antigének záráthatók liposzómába, vagy köthetők a felszínére (a hatás az Ag elhelyezkedésétől függ.)

- Bezárt Ag → rövid távú válasz, főleg IgG1 termelődik.
- Felületen kötött Ag → hosszú távú válasz, IgG1, IgG2a, IgG3, IgM termelődik.

A két esetben a hatásmechanizmus különböző.

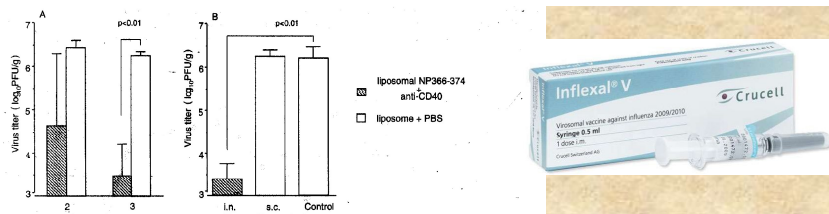
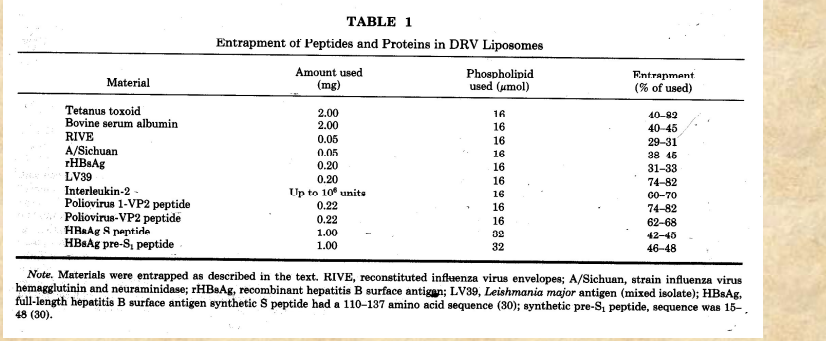


Fig. 1. Protective effects of two or three immunizations with liposomal NP366-374 together with anti-CD40 mAb (A). Three to four mice in each group were immunized intranasally twice or three times at 2-week intervals. Subcutaneous immunization provided no effective immunity against virus replication in the lung (B). Three to four mice in each group were intranasally or subcutaneously immunized three times at 2-week intervals. Mice were challenged intranasally with A/An/2/68 (H1N2) a week after the last immunization. In both experiments, control mice received PBS alone. Five days later, mice were sacrificed and lungs were collected. Lung virus titers were determined as described in Section 2. Bars and error bars represent mean titers and standard deviations for each group.



Fig. 2. Duration of the protective effect of immunization with liposomal NP366-374 together with anti-CD40 mAb. Three to four mice in each group were immunized intranasally three times at 2-week intervals. Mice were challenged with A/An/2/68 (H1N2) 4, 8, or 12 weeks after the last immunization. Five days later, lungs of mice were collected to calculate virus titers. Bars and error bars represent means and standard deviations for each group.

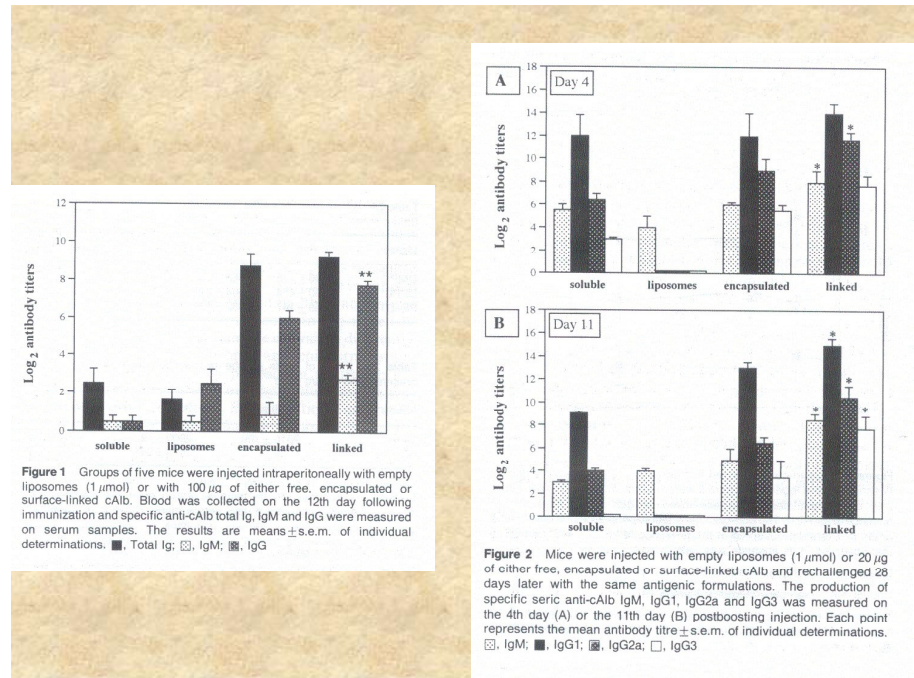
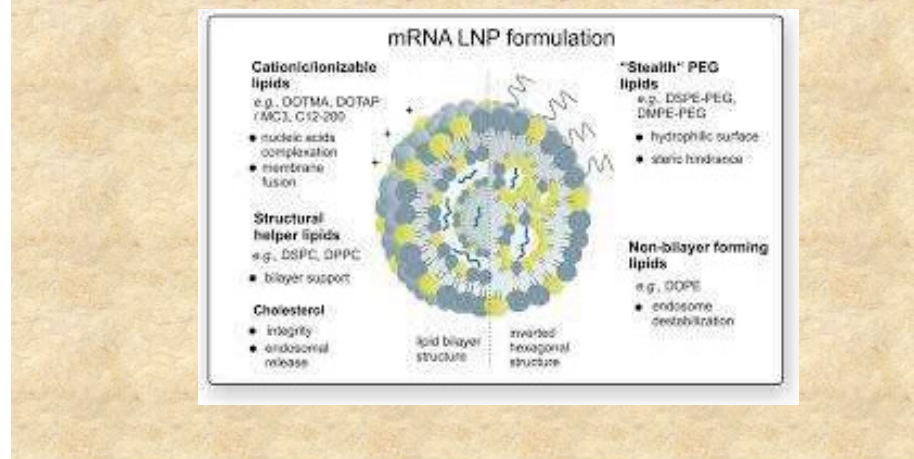


Figure 1 Groups of five mice were injected intraperitoneally with empty liposomes (1 μmol) or with 20 μg of either free, encapsulated or surface-linked cAlb. Blood was collected on the 12th day following immunization and specific anti-cAlb total Ig, IgM and IgG were measured on serum samples. The results are means ± s.e.m. of individual determinations. ■ Total Ig; ▨ IgM; ▨ IgG1; ▨ IgG2a; ▨ IgG3

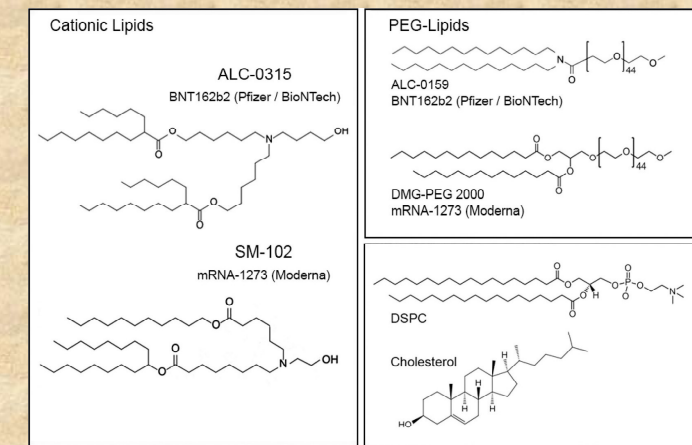
Pfizer-BioNTech, illetve Moderna COVID-19 vakcina
mRNS lipid nanoparticulumban



Lipid Name	Role	Abbreviation or Lab Code	CAS Registry Number
BNT162b2 vaccine (Pfizer/BioNTech)			
(4-hydroxybutyl)azanediyl bis(hexane-6,1-diy)bis(2-hexyldecanoate)	ionizable cationic lipid	ALC-0315	2036272-55-4
(2-hexyldecanoate), 2-[{poly(ethylene glycol)-2000}-N,N-ditetradecylacetamide]	PEG-lipid	ALC-0159	1849616-42-7
1,2-distearoyl-sn-glycero-3-phosphocholine cholesterol	helper lipid	DSPC	816-94-4
mRNA-1273 vaccine (Moderna)			
heptadecan-9-yl 8-((2-hydroxyethyl)(6-oxo-6-(undecyloxy)hexyl)amino)octanoate	ionizable cationic lipid	SM-102	2089251-47-6
1,2-dimyristoyl-rac-glycero-3-methoxypolyethylene glycol-2000	PEG-lipid	PEG2000-DMG	160743-62-4
1,2-distearoyl-sn-glycero-3-phosphocholine cholesterol	helper lipid	DSPC	816-94-4

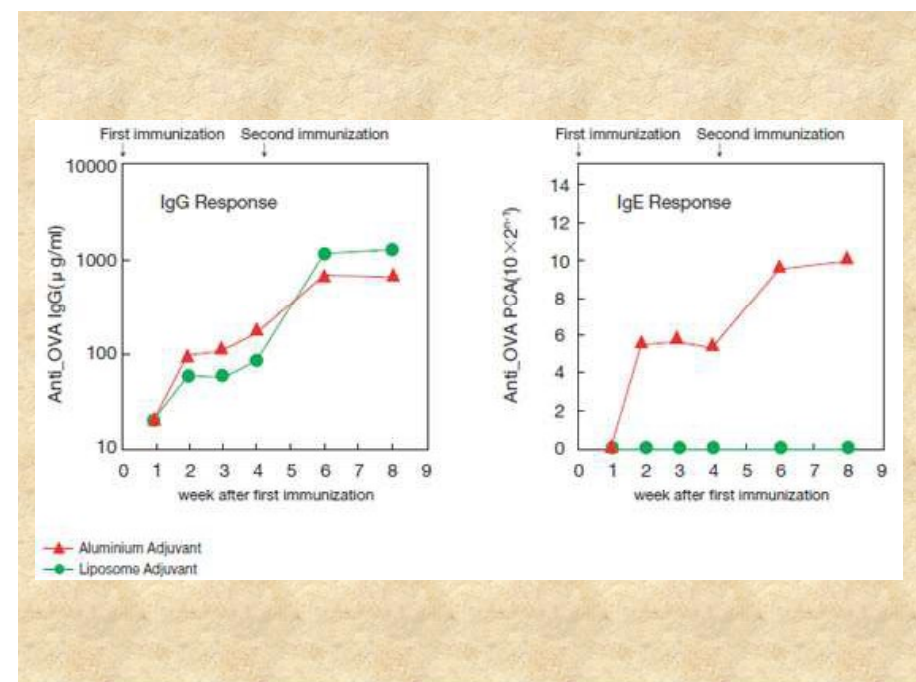
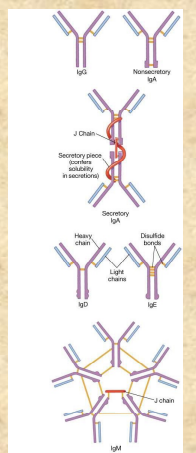
Az ionizálható kationos lipid alacsony pH-n pozitív töltésű, így könnyen képez komplexet az mRNS-sel. A vér pH-ján semleges, így csekély a toxicitása.

A lipid nanopartikulumokat alkotó lipidek



6. Allergia kezelése

Az allergiás reakció során IgE termelődik. Megfelelő összetételű liposzómába zárva az antigént csökkenthető az IgE és fokozható az IgG termelődése → allergiás betegségek immunterápiája.



7. Génátvitel

Megvalósítható DNS-darab bezárása, vagy a liposzóma felszínén való megkötése útján (főleg pozitív töltésű liposzómák esetén)

A kötődés lehet:

- elektrosztatikus kapcsolódás a külső felszínhez

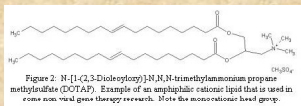
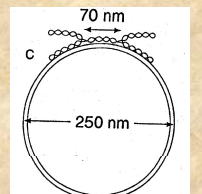
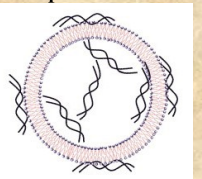
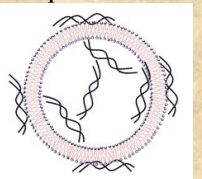
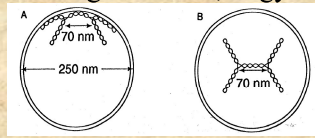


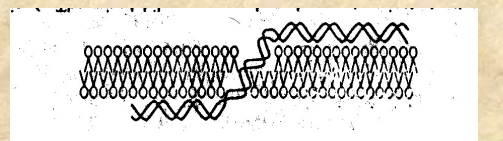
Figure 2. N-[1-(2,3-Dihydroxypropyl)N,N,N-trimethylammonium] trimethylsilyl ether (DOTAP). Example of an amphiphilic cationic lipid that is used in cancer gene therapy research. Note the monoactive head group.



- a liposzóma üregébe zárva, vagy a belső felszínhez kapcsolódva



- részben belül, részben kívül

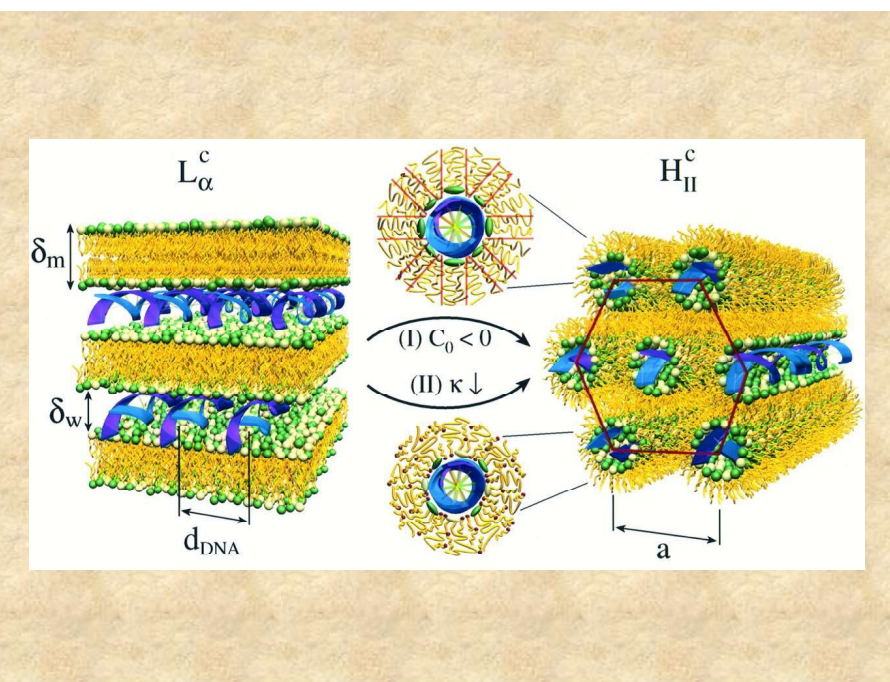
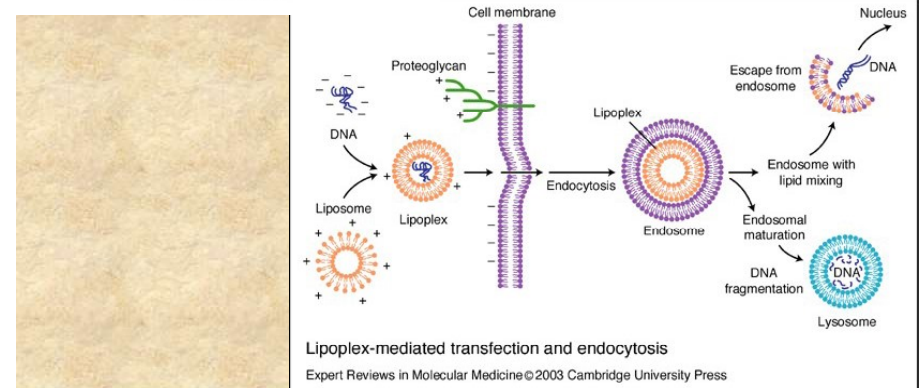
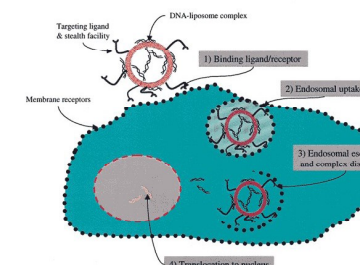
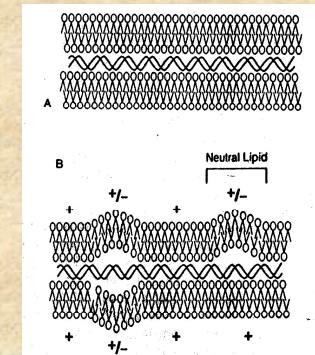
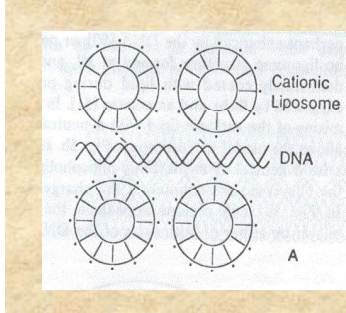


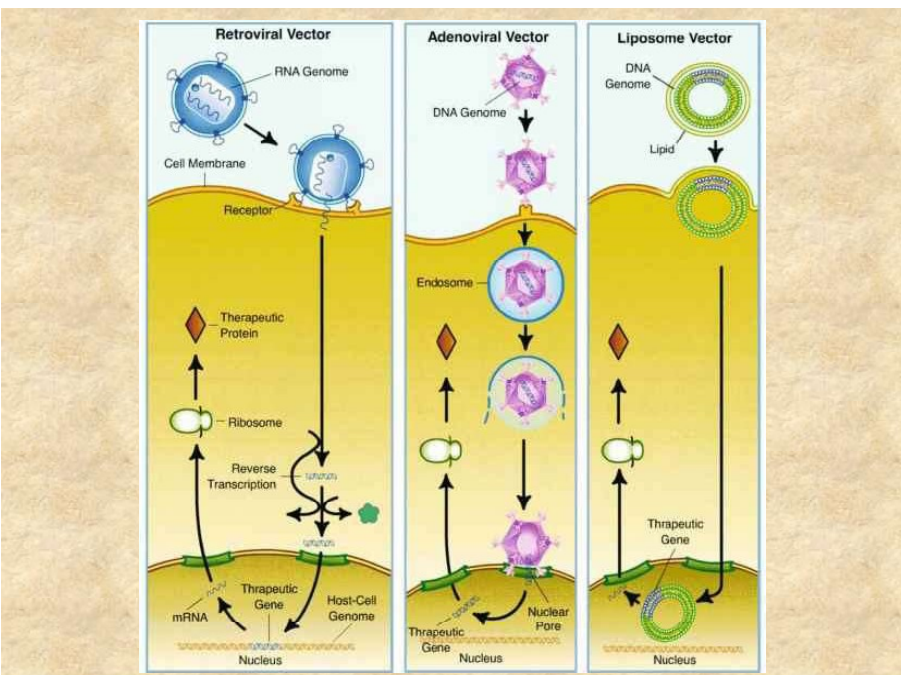
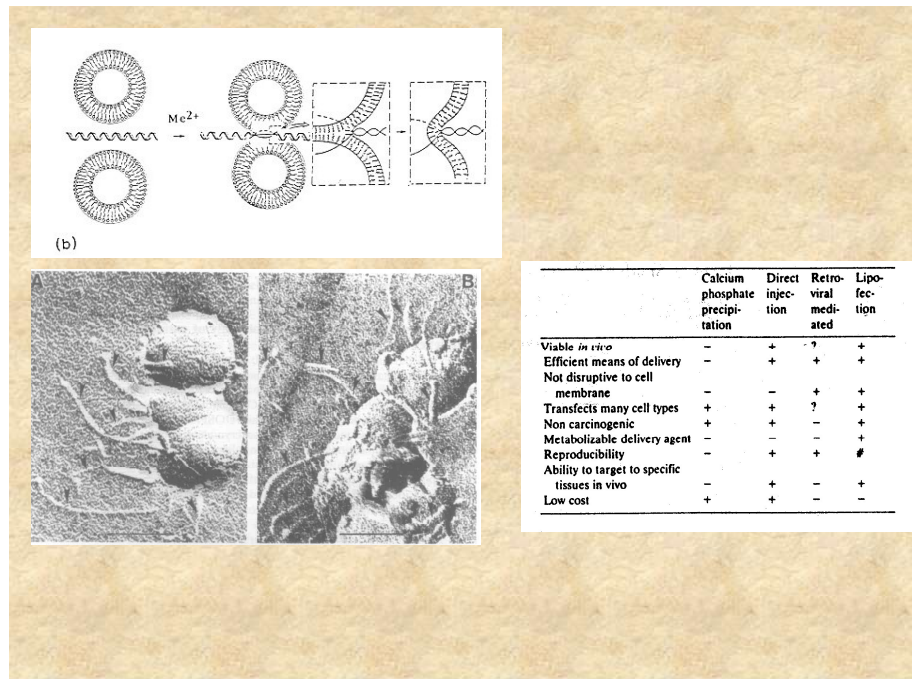
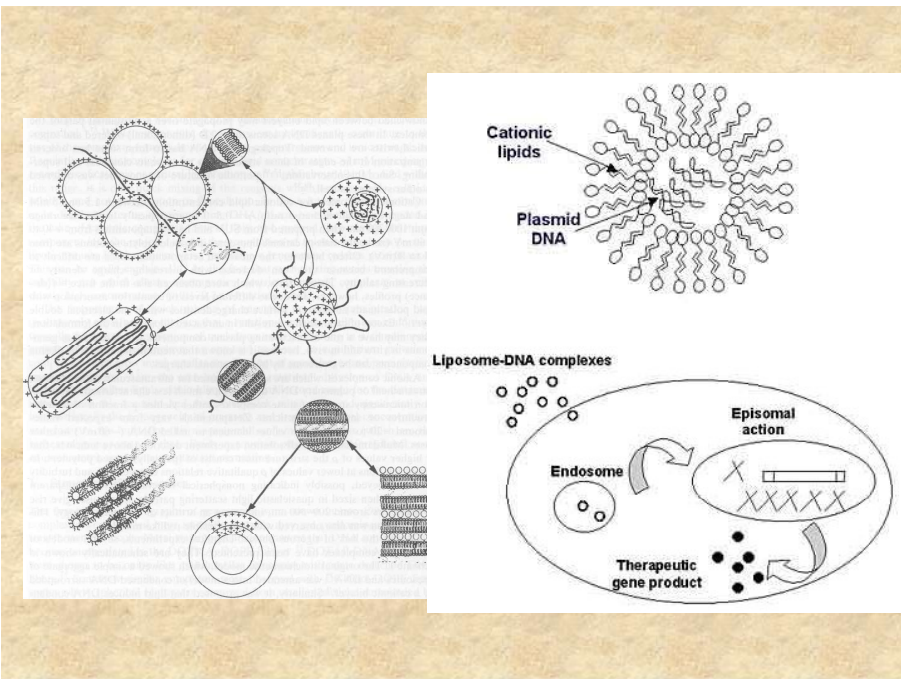
- fúzió során két bilayer közé kerülhet a DNS

A sejtbe juttatáshoz legcélszerűbb a liposzóma és a sejtmembrán fúziójá.

A liposzóma felszíni markereitől függően más-más sejtek vehetik fel, pl. galaktáz – májsejtek; mannóz – fehérvérsejtek

A DOPE általában alkotóeleme az ilyen célú liposzómáknak membrándestabilizáló hatás (ahhoz szükséges, hogy a DNS kiszabaduljon az endoszómából





13.3 Liposomes in gene therapy

- 83
- Recombinant DNA tech., studies of gene function & gene therapy all depend on delivery of nucleic acids(genetic material) into cells *in vitro* & *in vivo*.
 - Gene can be viral (adenovirus, retrovirus) & non viral(liposomes & lipid based systems, polymers & peptides)

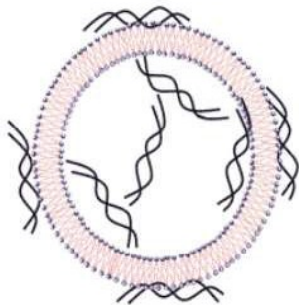
Type of vectors	Advantages	Disadvantages
Viral vectors (Adenovirus, retrovirus & adeno-associated virus)	Relatively high transfection efficiency	<ul style="list-style-type: none"> Immunogenicity, presence of contaminants & safety Vector restricted size limitation for recombinant gene
Non viral vectors (liposomes/lipid based systems, polymers & peptides)	<ul style="list-style-type: none"> Favorable, pharmaceutical issue-GMP, stability, cost Plasmid independent structure Low immunogenicity Opportunity for chemical/physical manipulation 	<ul style="list-style-type: none"> low transfection efficiency

DNA delivery of Genes by Liposomes

Cheaper than viruses

No immune response

Especially good
for in-lung delivery (cystic fibrosis)



100-1000 times more plasmid DNA needed
for the same transfer efficiency as for viral vector

51